

НАЦИОНАЛЬНЫЙ ИССЛЕДОВАТЕЛЬСКИЙ УНИВЕРСИТЕТ ИТМО  
Факультет систем управления и робототехники

Моделирование динамических систем  
Лабораторная работа №3  
Бифуркации

Вариант 2

Выполнил студент:  
Кирбаба Д.Д. R3338

Преподаватель:  
Семенов Д.М.

г. Санкт-Петербург  
2023

# Задание 1

Дана следующая нелинейная система:

$$\begin{cases} \dot{x}_1 = -x_1 \\ \dot{x}_2 = rx_2 + x_2^3 - x_2^5 \end{cases}$$

Необходимо найти все возможные бифуркации в системе. Определить тип точек равновесия для каждого возможных значений бифуркационного параметра  $r$ .

Также требуется отобразить фазовые портреты линеаризованной и исходной нелинейной систем для каждого типа точек равновесия.

Для начала, найдем точки равновесия системы.

Для их поиска, необходимо приравнять левую часть (производные) к нулю и решить систему:

$$\begin{cases} -x_1 = 0 \\ rx_2 + x_2^3 - x_2^5 = 0 \end{cases} \Rightarrow \begin{cases} x_1^* = 0 \\ x_2^* = 0 \end{cases}, \text{ if } r \geq -\frac{1}{4} : \begin{cases} x_1^* = 0 \\ x_2^* = \pm \frac{\sqrt{1 \pm \sqrt{4r+1}}}{\sqrt{2}} \end{cases}$$

Итого, имеем единственную точку равновесия  $(x_1^* = 0, x_2^* = 0)$ , если  $r < -\frac{1}{4}$ .

Имеем три точки равновесия  $(x_1^* = 0, x_2^* = 0)$ ,  $(x_1^* = 0, x_2^* = \pm \frac{1}{\sqrt{2}})$ , если  $r = -\frac{1}{4}$ .

Имеем пять точек равновесия  $(x_1^* = 0, x_2^* = 0)$ ,  $(x_1^* = 0, x_2^* = \pm \frac{\sqrt{1 \pm \sqrt{4r+1}}}{\sqrt{2}})$ , если  $r \in (-\frac{1}{4}, 0)$ .

Имеем три точки равновесия  $(x_1^* = 0, x_2^* = 0)$ ,  $(x_1^* = 0, x_2^* = \pm 1)$ , если  $r = 0$ .

Имеем три точки равновесия  $(x_1^* = 0, x_2^* = 0)$ ,  $(x_1^* = 0, x_2^* = \pm \frac{\sqrt{1 \pm \sqrt{4r+1}}}{\sqrt{2}})$ , если  $r > 0$ .

Составим матрицу Якоби системы:

$$A = \begin{bmatrix} \frac{\delta f_1(x_1, x_2)}{\delta x_1} & \frac{\delta f_1(x_1, x_2)}{\delta x_2} \\ \frac{\delta f_2(x_1, x_2)}{\delta x_1} & \frac{\delta f_2(x_1, x_2)}{\delta x_2} \end{bmatrix} = \begin{bmatrix} -1 & 0 \\ 0 & r + 3x_2^2 - 5x_2^4 \end{bmatrix}$$

Рассмотрим точки равновесия  $x_2 = \{0; \frac{\sqrt{1+\sqrt{4r+1}}}{\sqrt{2}}; -\frac{\sqrt{1+\sqrt{4r+1}}}{\sqrt{2}}; \frac{\sqrt{1-\sqrt{4r+1}}}{\sqrt{2}}; -\frac{\sqrt{1-\sqrt{4r+1}}}{\sqrt{2}}\}$ :

$$A_1 = \left. \frac{df(x_2)}{d(x_2)} \right|_{x_{21}=0} = r,$$

$$A_2 = \left. \frac{df(x_2)}{d(x_2)} \right|_{x_{22}=\frac{\sqrt{1+\sqrt{4r+1}}}{\sqrt{2}}} = -4r - \sqrt{4r+1} - 1,$$

$$A_3 = \left. \frac{df(x_2)}{d(x_2)} \right|_{x_{23}=-\frac{\sqrt{1+\sqrt{4r+1}}}{\sqrt{2}}} = -4r - \sqrt{4r+1} - 1,$$

$$A_4 = \left. \frac{df(x_2)}{d(x_2)} \right|_{x_{24}=\frac{\sqrt{1-\sqrt{4r+1}}}{\sqrt{2}}} = -4r + \sqrt{4r+1} - 1,$$

$$A_5 = \left. \frac{df(x_2)}{d(x_2)} \right|_{x_{25} = -\frac{\sqrt{1-\sqrt{4r+1}}}{\sqrt{2}}} = -4r + \sqrt{4r+1} - 1,$$

В итоге получаем, что

$x_{21}^* = 0 \Rightarrow \dot{x}_2 = A_1 x_2 = r x_2 \Rightarrow$  устойчиво  $\forall r < 0$  и неустойчиво  $\forall r > 0$ ;

$x_{22,3}^* = \pm \frac{\sqrt{1+\sqrt{4r+1}}}{\sqrt{2}} \Rightarrow \dot{x}_2 = A_{2,3} x_2 = (-4r - \sqrt{4r+1} - 1) x_2 \Rightarrow$  устойчиво  $\forall r > -\frac{1}{4}$ ;

$x_{24,5}^* = \pm \frac{\sqrt{1-\sqrt{4r+1}}}{\sqrt{2}} \Rightarrow \dot{x}_2 = A_{4,5} x_2 = (-4r + \sqrt{4r+1} - 1) x_2 \Rightarrow$  устойчиво  $\forall r > 0$  и неустойчиво  $\forall -\frac{1}{4} < r < 0$ ;

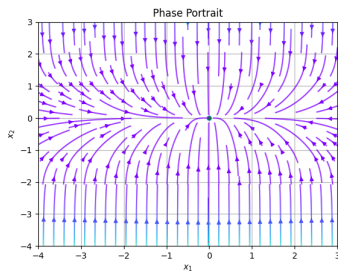
Теперь будем рассматривать целую систему вместе с первым уравнением:

$$\begin{cases} \dot{x}_1 = -x_1 \\ \dot{x}_2 = r x_2 + x_2^3 - x_2^5 \end{cases}$$

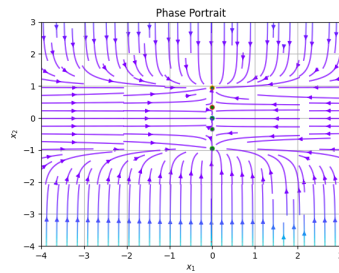
Итого, имеем:

$r < -1/4$	$(0, 0)$ - устойчивый узел
$r = -1/4$	$(0, 0)$ - устойчивый узел $(0, \pm 1/\sqrt{2})$ - два устойчивых узла со смещением
$r \in (-1/4, 0)$	$(0, 0)$ - устойчивый узел $(0, \pm \sqrt{1 + \sqrt{4r+1}}/\sqrt{2})$ - два устойчивых узла $(0, \pm \sqrt{1 - \sqrt{4r+1}}/\sqrt{2})$ - два неустойчивых положения (седла)
$r = 0$	$(0, 0)$ - устойчивый узел со смещением $(0, \pm 1)$ - два устойчивых узла
$r > 0$	$(0, 0)$ - неустойчивый узел (седло) $(0, \pm \sqrt{1 + \sqrt{4r+1}}/\sqrt{2})$ - два устойчивых узла

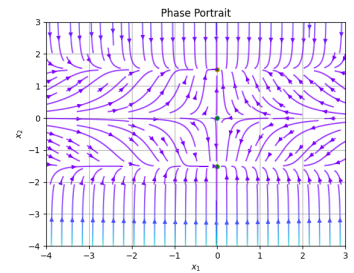
Теперь отобразим фазовые портреты линеаризованной и исходной нелинейной систем для каждого типа точек равновесия.



(a)  $r = -4$



(b)  $r = -0.1$



(c)  $r = 3$

Рис. 1: Нелинейная система

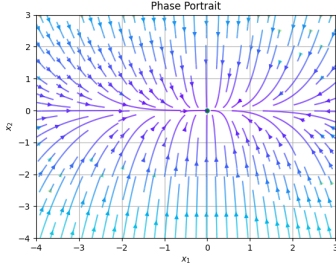
Один устойчивый узел в  $(0, 0)$

↓

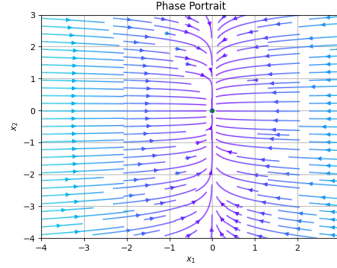
$(0, 0)$  - устойчивый узел,  $(0, \pm\sqrt{1 + \sqrt{4r + 1}}/\sqrt{2})$  - два устойчивых узла,  
 $(0, \pm\sqrt{1 - \sqrt{4r + 1}}/\sqrt{2})$  - два неустойчивых положения (седла)

↓

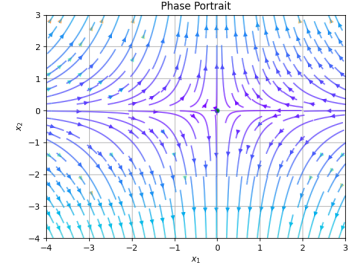
$(0, 0)$  - неустойчивый узел (седло),  $(0, \pm\sqrt{1 + \sqrt{4r + 1}}/\sqrt{2})$  - два устойчивых узла



(a)  $r = -4$



(b)  $r = -0.1$



(c)  $r = 3$

Рис. 2: Линеаризованная система около  $(0, 0)$

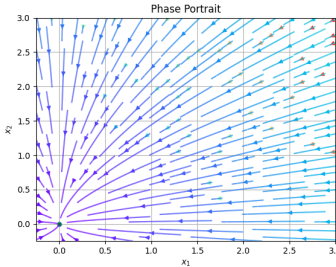
Устойчивый узел

↓

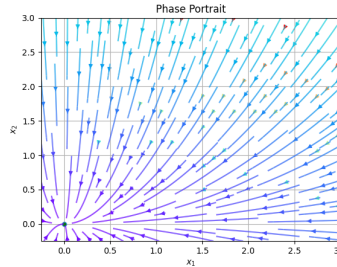
Устойчивый узел

↓

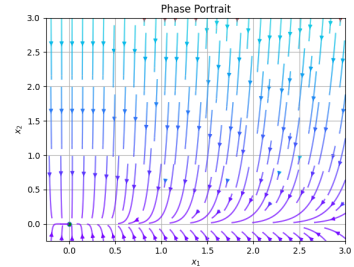
Седло



(a)  $r = -1/4$



(b)  $r = 0$



(c)  $r = 3$

Рис. 3: Линеаризованная система около  $(0, \sqrt{1 + \sqrt{4r + 1}}/\sqrt{2})$

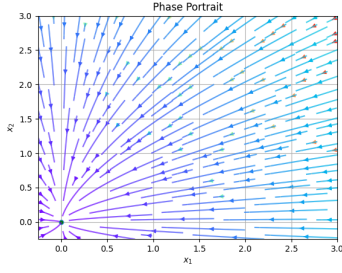
Устойчивый узел

↓

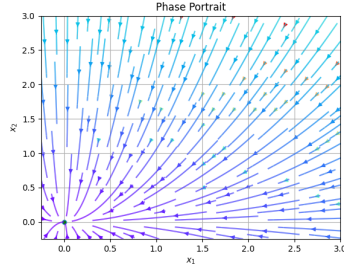
Устойчивый узел

↓

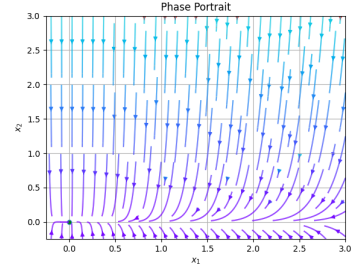
Устойчивый узел



(a)  $r = -1/4$



(b)  $r = 0$



(c)  $r = 3$

Рис. 4: Линеаризованная система около  $(0, -\sqrt{1 + \sqrt{4r + 1}}/\sqrt{2})$

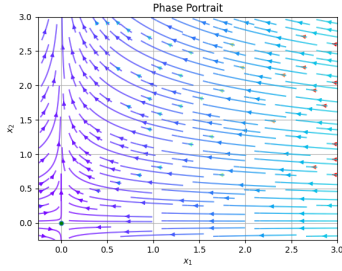
Устойчивый узел



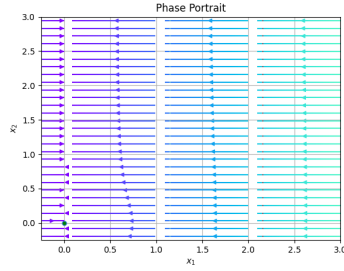
Устойчивый узел



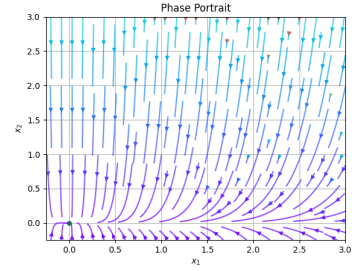
Устойчивый узел



(a)  $r = -1/4$



(b)  $r = 0$



(c)  $r = 3$

Рис. 5: Линеаризованная система около  $(0, \sqrt{1 - \sqrt{4r + 1}}/\sqrt{2})$

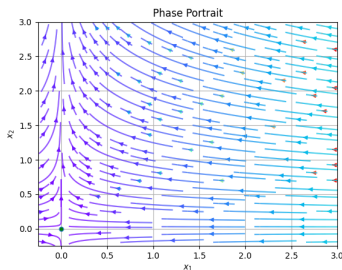
Седло



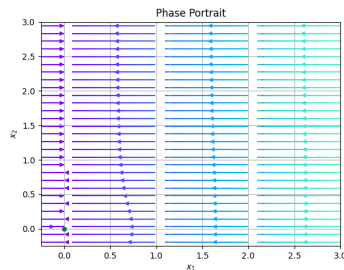
Граница устойчивости



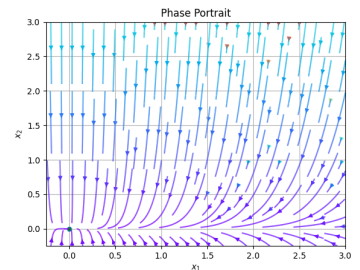
Устойчивый узел



(a)  $r = -1/4$

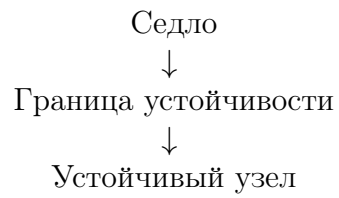


(b)  $r = 0$



(c)  $r = 3$

Рис. 6: Линеаризованная система около  $(0, -\sqrt{1 - \sqrt{4r + 1}}/\sqrt{2})$



## Выводы

В данной работе было проведено исследование системы с бифуркационным параметром  $r$ . Было аналитически предсказано, что поведение системы будет меняться при прохождении бифуркационного параметра порогов  $\{-\frac{1}{4}; 0\}$ . Также были построены фазовые портреты нелинейной и линеаризованной около положений равновесия для наглядной картины преобразования системы при изменении бифуркационного параметра.